

論 文

CRC 오류검출부호의 성능 분석

正會員 廉 興 烈* 正會員 權 周 漢** 準會員 梁 承 杜** 正會員 李 晚 榮***

Performance Analysis of CRC Error
Detecting CodesHeung Youl YOUM*, Joo Han KWON**, Seung Doo YANG**,
Man Young RHEE* Regular Members

要 約 본 논문에서는 단축 Hamming 부호의 일종이며 오류검출용 검사비트 수가 16인 CRC-CCITT 부호와 원시다항식 CRC 부호에 대한 성능 분석을 위하여 필수적으로 요구되는 중분포 (weight distribution)를 구하는 기법과 오류검출 성능을 분석하는 기법을 제안하였고, 두 CRC (cyclic redundant code) 부호를 CCITT에서 광대역 ISDN의 가입자망 인터페이스의 전송방식으로 권고된 ATM (asynchronous transfer mode) 전송방식의 오류검출용 부호로 적용하여 현재 고려되고 있는 cell 크기에 대한 중분포 및 미검출오류확률(undetected error probability)을 구한 후, 두 오류검출부호의 성능을 비교 / 분석하였다.

분석 결과, 현재 고려되는 셀 크기에 대해 CRC-CCITT 부호의 성능이 원시다항식 CRC 부호의 성능보다 더 우수함이 입증되었다. 이를 위한 모든 계산을 IBM PC / AT를 이용하여 수행하였다. 한편 본 논문에서 제안한 단축 Hamming 부호의 성능 분석 기법은 지금까지 디지털 통신시스템에 적용되고 있고 또는 적용예정인 CRC 오류검출 부호의 성능 분석에 이용될 수 있다.

ABSTRACT In this paper, the CRC-CCITT code and primitive polynomial CRC code are selected for analysing error detecting performance. However, general formulas for obtaining the weight distribution of these two CRC codes are not so far derived. So, a new method for calculating the weight distribution of the shortened cyclic Hamming code is presented and an undetected error probability of these two codes is obtained when used in cell of ATM for broadband ISDN user-network interface. Consequently, we show that CRC code is performing better than primitive polynomial CRC code for error detection of ATM Cell and shortening a code too much does affect its error detection performance. All the computer simulation is performed by IBM PC / AT.

* 韓國電子通信研究所

Transmission Systems Section Electronics and
Telecommunications Research Institute

** 三星電子

Samsung Electronics.

***漢陽大學校 電子通信工學科
Dept. of Electronic Communication Engineering
Han Yang University

論文番號 : 89-57 (接受1989. 6. 9)

I. 서 론

지난 30여년 동안 전송로에서 발생한 오류를

제어하기 위한 부호이론에 대한 연구는 오류 검출 / 정정 능력이 우수한 오류 정정 / 검출 부호의 개발, 보다 효율적이고 간단한 부호화 및 복호 알고리즘 개발 등에 대하여 중점적으로 수행되어 왔다.⁽¹⁾

신뢰성 있는 정보 전송을 위하여 통신시스템에서 널리 이용되고 있는 오류제어기법은 FEC (forward error correction) 기법, ARQ (automatic repeated-request) 기법, 그리고 두방식을 결합한 복합오류제어 (hybrid error control) 기법 등이 이용되어 수행되었다.

FEC 기법에서는 기본적으로 부호화율 (k/n) 이 비교적 작은 오류정정부호를 이용하여, 오류 발생 검출, 오류 위치 및 오류값 추정, 그리고 오류정정으로 구성된 세 단계를 거쳐 수행되며, 재전송을 요구할 수 없는 실시간 데이터 전송시스템에서의 정보의 신뢰성을 향상시키기 위해 도입 / 적용되고 있다. ARQ 기법은 일반적으로 부호화율이 비교적 큰 오류 검출부호를 이용하며, 수신기에서 전송된 데이터 블럭에 오류 발생 유무만을 검출한 후 오류가 발생되었다고 판단되면 송신단에 해당 데이터 블럭의 재전송을 요구함으로서 해당 데이터 블록의 오류를 제어한다.

ARQ 기법은 시스템의 복잡도 측면에서 FEC 기법보다 비교적 간단하게 구현될 수 있으므로 통신채널의 오류 발생 확률이 높지 않은 패킷 교환 데이터망, 컴퓨터 통신망, 그리고 위성을 통한 데이터 통신망 등에 널리 적용되어 왔다.⁽³⁾ ARQ 기법에서 널리 이용되고 있는 대표적인 오류검출부호로는 선형 부호 (linear cyclic code)의 일종인 CRC 부호를 들 수 있다. 따라서 CRC 오류검출부호의 성능은 ARQ 기법을 이용한 통신시스템의 성능에 직결되는 매우 중요한 변수가 된다. 그리고 복합 오류제어 기법은 FEC 기법과 ARQ 기법을 혼합한 기법으로 주로 위성을 통한 데이터 전송시스템에 있어서 성능 향상 및 전송 효율의 향상을 위하여 최근 연구 / 도입되고 있다.

본 논문에서는 단축 Hamming 부호의 일종이며 오류검출용 검사 비트수가 16인 CRC-CCITT

부호와 원시다항식 CRC 부호를 도입하여, 이들 단축 Hamming 부호에 대한 일반적인 성능 분석 기법을 제안하였고, 두 CRC 부호를 CCITT 광대역 ISDN 가입자망 인터페이스의 전송방식으로 권고된 ATM의 cell에 도입 / 적용하여 현재 고려되고 있는 각각의 cell 크기에 대한 중분포 (weight distribution) 및 미검출오류확률 (undetected error probability)을 구하고, 두 부호에 대한 성능을 비교 / 분석하였다.

II. 오류검출부호

II.1 오류검출부호의 종류 및 오류검출 알고리즘

현재까지 디지털 통신시스템에 널리 이용되고 있는 CRC 부호는 CRC-12, CRC-16, CRC-CCITT, 그리고 CRC-32 등이며, 이 부호들의 생성다항식 (generator polynomial)은 다음과 같다.⁽³⁾⁽⁴⁾

*CRC-12의 생성다항식: $x^{12} + x^{11} + x^3 + x^2 + 1$

*CRC-16의 생성다항식: $x^{16} + x^{15} + x^2 + 1$

*CRC-CCITT의 생성다항식: $x^{16} + x^{12} + x^5 + 1$

*CRC-32의 생성다항식:

$$\begin{aligned} &x^{32} + x^{26} + x^{23} + x^{22} + x^{16} + x^{12} + x^{11} + x^{10} + x^8 + x^7 \\ &+ x^5 + x^4 + x^2 + 1 \end{aligned}$$

CRC-12 부호는 6-비트 캐릭터에 대한 오류검출부호로, CRC-16 부호는 BSC (binary synchronous communications) 프로토콜에서의 8-비트로 구성된 EBCDIC (extended binary coded decimal interchange code) 캐릭터용 오류검출부호로, CRC-CCITT 부호는 SDLC (synchronous data link control) 프로토콜에서의 데이터 필드에서 발생한 오류를 제어하기 위하여 이용되고 있다. 특히 CRC-CCITT 부호는 미국 IBM 사의 8-inch 프리피 디스크의 데이터 보호를 위하여 적용되고 있으며, 많은 여타 사의 FDC (floppy

disk controller)에 적용되고 있는 대표적인 오류 검출부호이다. 그리고 CRC-32 부호는 LAN (local area network)의 일종인 Ethernet의 데이터 링크레이어의 데이터 필드에 대한 오류검출을 위해 채택 / 사용되고 있다.⁽¹⁾⁽⁶⁾⁽⁷⁾

CRC 오류검출부호를 이용한 오류 검출 과정은 기본적으로 다음과 같다. 전송될 k비트의 정보 블럭은 다음과 같은 $k-1$ 차의 정보다항식, $d(x)=d_0+d_1x+d_2x^2+\cdots+d_{k-1}x^{k-1}$ 으로 표현될 수 있다. 일반적으로 CRC 오류검출부호의 생성다항식은 차수가 $n-k$ 차인 $g(x)$ 로 표현되므로, 오류 검출을 위한 검사비트 (redundancy bit)를 다항식 형태로 표현한 검사 다항식 (redundant check polynomial), $r(x)$ 는 다음과 같은 식을 이용하여 구해진다.⁽¹⁾⁽⁶⁾⁽⁷⁾

$$x^{n-k}d(x) = q(x)g(x) + r(x) \quad (1)$$

여기서, $n-k$: 생성다항식의 차수

$q(x)$: $x^{n-k}d(x)$ 를 $g(x)$ 로 나눈 몫다항식
 $r(x)$: 검사다항식

따라서 오류검출을 위한 CRC 검사 비트는 (1)식의 $r(x)$ 에서 구해진다. 송신기는 k 비트의 정보 다항식에 $n-k$ 비트의 여분의 검사 다항식을 부가하여 실제 통신로로 전송될 부호어를 생성한다. 이는 (2)식과 같이 표현된다.

$$c(x) = x^kd(x) + r(x) \quad (2)$$

(1)과 (2)식에서 알 수 있듯이 부호 다항식, $c(x)$ 는 $g(x)$ 로 나누어 떨어진다.

한편, 전송로에서 발생한 오류다항식 (error

polynomial)를 $e(x)$ 라 하면, 전송로를 통해 수신된 수신다항식 (received polynomial), $v(x)$ 는 (3)식과 같이 표현될 수 있다.

$$v(x) = c(x) + e(x) \quad (3)$$

(1),(2),(3)식에서 알 수 있듯이 전송채널에서 오류가 발생하지 않았을 경우, 즉 $e(x)=0$ 인 경우, $v(x)$ 는 $g(x)$ 로 나누어 떨어지므로 나머지 다항식이 "0"이 된다. 그러나 전송채널에서 오류가 발생한 경우, 즉 $e(x)\neq 0$ 인 경우, $v(x)$ 는 $g(x)$ 로 나누어 떨어지지 않음으로 나머지 다항식이 "0"이 되지 않는다. 위와 같은 특성을 이용하여 수신기는 수신 다항식에 오류 발생 유무를 검출하기 위하여 $v(x)$ 를 $g(x)$ 로 나눈 후 나머지가 "0"인 경우 해당 정보 블럭에 오류가 발생하지 않은 것으로, 나머지가 "0"이 아니면 해당 정보 블럭에 오류가 발생한 것으로 판단하여 송신기로 해당 정보 블럭을 재전송하도록 요구하므로서 해당 정보 블럭에 발생한 오류를 교정하고 있다. 그러나 오류다항식이 부호다항식, 즉 부호어와 같은 형태로 발생한 경우, 오류가 발생했음에도 불구하고 수신기는 오류를 검출하지 못할 것이다. 이와 같은 사건을 미오류검출사건이라 지칭하며 이와 같은 사건이 발생할 확률이 오류검출부호의 성능을 나타내는 미검출오류확률이다. 따라서 오류검출 부호의 성능을 분석하기 위해서는 $g(x)$ 에 의해 생성 가능한 부호어를 구하는 것이 먼저 이루어져야 한다.

CRC-CCITT 오류검출부호를 이용한 검시비트는 <그림 1>과 같은 쉬프트 레지스터와 exclusive-OR gate로 구성된 회로에 의해 생성된다. 수신단의 오류 검출기는 <그림 1>과 비슷한

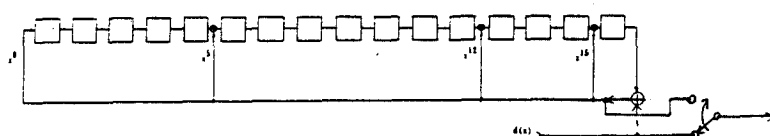


그림 1. CRC 비트 생성기
 generator circuit for CRC bit

회로로 구현될 수 있다.

III. ATM 전송방식

ISDN (Integrated Service Digital Network)은 음성과 비음성 서비스를 하나의 통합된 망을 통해서 제공하는 것을 바탕으로 하여 세계각국에서 활발히 구축되고 있다. ISDN은 기본 액세스(basic access)인 2B+D (B: 64Kb/s, D: 16 Kb/s) 서비스와 1차 액세스(primary access)인 23B+D (또는 30B+D) 서비스 제공을 바탕으로 한 협대역 ISDN과 H1(1.544Mb/s) 급 이상의 고속 데이터, 고속 비디오 서비스 등의 광대역 서비스 제공을 바탕으로 하는 광대역 ISDN으로 분류될 수 있다. 현재 CCITT에서 권고되고 있는 광대역 ISDN의 가입자망 인터페이스 (UNI: user network interface)의 기준 모델은 <그림 2>와 같다.⁽⁴⁾

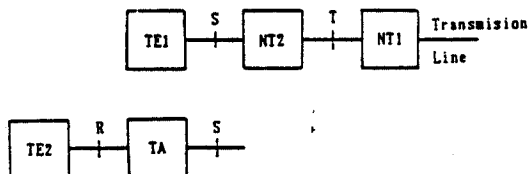


그림 2. 광대역 ISDN의 UNI의 기준 모델
reference model for UNI of broadband ISDN

현재 CCITT에서 논의 / 고려되고 있는 광대역 ISDN의 UNI에 적용되는 전송방식은 기본적으로 STM (synchronous transfer mode) 전송 방식과 ATM (asynchronous transfer mode) 전송 방식이 고려되고 있으나, 이중 ATM 전송방식이 권고될 예정이다. STM 전송방식은 프레임을 구성한 후 특정 채널의 데이터를 특정 타임슬롯에 할당하여 전송하는 전송방식이다. 이 방식을 이용하면 특정 채널이 서비스를 포함하지 않더라도 해당 타임슬롯을 다른 채널이 이용할 수 없는 단점이 있으나, 회로 구현이 간단하여 지금까지의 많은 디지털 전송시스템에 널리 이용되고

있는 전송 방식이다. ATM 전송방식은 <그림 3>과 같이 프레임을 구성한 후 시분할 기법을 이용하여 가입자 정보를 패킷단위로 구분하여 전송하는 패킷 지향적인 전송방식으로서, 가입자의 정보는 cell 단위의 패킷에 삽입되어 전송된다.⁽⁴⁾

cell은 <그림 4>와 같이 정보부와 헤더부로 구성되어 있으며, 정보부에는 가입자의 데이터를, 헤더부에는 정보부에 대한 서비스 종류, 라우팅, 오류정정 / 검출 부호 비트 등의 정보를 포함한다. 따라서 이 전송방식을 이용하면 가입자의 여러 다양한 서비스에 융통성있게 대처할 수 있으나 시스템 실현의 복잡도가 STM 전송방식 보다 큰 단점이 있다.

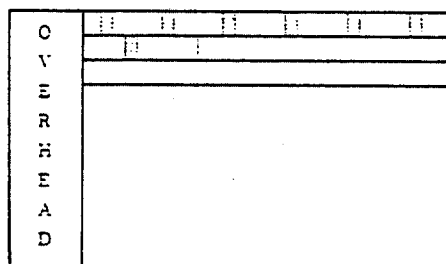


그림 3. 고려되고 있는 ATM 전송방식에서의 프레임 구성
frame format for ATM

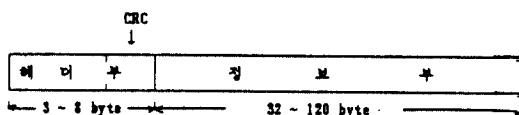


그림 4. ATM 전송방식에서의 cell 구조
cell structure for ATM

현재 (89.2) CCITT에서는 cell의 헤더부 크기를 3~8바이트, 정보부의 크기를 32~120 바이트로 잠정 권고하고 있다.⁽⁴⁾ 본 논문에서는 두 종류의 CRC 오류검출부호를 헤더부에 도입하여 정보부 및 헤더부에서 발생한 오류를 검출하는 방안을 제안하였다. 이를 기반으로 하여, 일반적인 단축

Hamming 오류검출부호의 성능 분석의 일반적인 이론을 분석하고, 두 오류검출부호에 적용될 수 있는 성능 분석 알고리즘을 제시하고 두 CRC 검출부호의 성능을 분석한 후 이를 비교/분석한다.

IV. 미검출오류확률

IV-1. MacWilliams 항등식과 미검출오류확률

MacWilliams 항등식은 (n,k) 선형 부호, C 의 중분포 (weight distribution)와 C 의 쌍대부호 (dual code), C' 의 중분포 간의 관계식을 나타내며, 이는 (3)식과 같이 표현된다.⁽¹⁾⁽²⁾⁽⁶⁾⁽⁷⁾

$$A(x)=2^{-(n-k)}(1+x)^n B(1-x/1+x) \quad (3)$$

여기서 $A(x)$: C 의 중분포 다항식

$B(x)$: C' 의 중분포 다항식

(3)식은 C 의 정보장(k)과 C' 의 정보장($n-k$)의 관계가 $k > n-k$ 을 만족할 경우, C' 의 중분포를 구한 후 C 의 중분포를 쉽게 구할 수 있음을 의미한다.

이원대칭채널 (BSC: binary symmetric channel)을 통해 (n,k) 선형 부호가 전송되었을 경우, 채널상에서 발생한 오류 다항식이 (n,k) 선형 부호의 부호어와 일치하면, 수신다항식은 또 다른 (n,k) 선형부호의 부호어가 되어, 수신기는 송신 베타에 오류가 발생했음에도 불구하고 이를 검출할 수 없게 된다. 이와 같은 사건은 오류 다항식이 (n,k) 선형 부호의 부호어 중 하나와 같은 형태로 일어날 경우 발생하며, 이와 같은 오류형태가 발생할 확률이 미검출오류확률이라 정의된다. 따라서 (n,k) 선형 부호의 미검출오류확률은 (4)식과 같이 표현될 수 있다.

$$P_{ud}(e)=\sum_{i=1}^n A_i e^i (1-e)^{n-i} = \sum_{i=d_{min}}^n A_i e^i (1-e)^{n-i} \quad (4)$$

여기서 e 는 BSC에서의 천이화률 (transition

probability), d_{min} 은 선형부호 C 의 최소거리 (minimum distance)이다. 그리고 A_i 는 (5)식과 같은 중분포다항식의 중분포 계수를 의미한다.

$$A(x)=A_0+A_1x^1+A_2x^2+\cdots+A_nx^n$$

$$=\sum_{i=0}^n A_i x^i \quad (5)$$

(4)식은 (5)식을 이용하여 (6)식과 같이 변경될 수 있다.

$$P_{ud}(e)=(1-e)^n (A(e/1-e)-1) \quad (6)$$

(6)식을 (3)식에 대입하면, 미검출오류확률은 쌍대부호의 중분포로 (7)식과 같이 표현될 수 있다.

$$P_{ud}(e)=2^{-(n-k)} B(1-2e) - (1-e)^n$$

$$=2^{-(n-k)} \sum_{i=0}^n B_i (1-2e)^i - (1-e)^n \quad (7)$$

$$\text{여기서, } \sum_{i=0}^n B_i = 2^{n-k}$$

(n,k) 선형부호, 또는 쌍대부호의 중분포를 알 수 있을 경우, (n,k) 선형부호의 미검출오류확률은 (4)식 또는 (7)식을 이용하여 구해진다. 특히 $n-k < k$ 인 경우, 쌍대부호의 중분포는 원래 부호의 중분포보다 쉽게 구해지므로 (7)식을 이용하여 이 부호의 미검출오류확률을 구할 수 있다. 따라서 C 와 C' 의 부호의 특성이 명확히 알려져 있고 C' 의 중분포 B_i 가 비교적 쉽게 구해질 수 있을 경우, 미검출오류확률은 (7)식을 이용하여 구하는 것이 유리하다. 그러나 C 와 C' 관계가 명확하지 않고 C' 의 중분포가 쉽게 구할 수 없을 경우, 미검출오류확률은 binomial approximation 방법 또는 컴퓨터 시뮬레이션 기법⁽⁹⁾ 등을 이용하여 C 의 중분포 A_i 를 추정하여, 이를 이용하여 미검출오류확률을 구해야 한다. 이후부터 C 와 C' 의 관계가 명확한 Hamming 부호를 단축한 단축 Hamming 부호의 특성을 이용하여, 이 부호의 미검출오류확률을

구하는 새로운 기법을 제안한다.

IV-2. 단축 Hamming 부호의 특성

선형부호의 미검출오류확률이 e 가 증가함에 따라 단조증가한 경우, 이 부호는 proper 부호라 정의된다. (n,k) 선형부호가 미검출오류확률의 상한치 (upper bound)를 만족하는 선형부호의 종류는 다음과 같은 특성에서 알 수 있다. 특히 proper 부호의 미검출오류확률은 $2^{-(n-k)}$ 상한치이며 증명되었다.⁽⁵⁾ 여기서는 proper 부호와 관련된 특성을 도출한다.

[특성 1] 선형부호는 반드시 proper 부호가 아니다.

[특성 2] 순회부호는 반드시 proper 부호가 아니다.

[특성 3] Single parity-check 부호는 proper 부호이다.

[특성 4] 최대장계열부호는 proper 부호이다.

[특성 5] 이중오류정정 BCH 부호는 proper 부호이다.

[특성 6] Hamming 부호와 Golay (23,12) 부호 등의 완전 (perfect) 부호는 proper 부호이다.

[특성 7] 완전부호의 쌍대부호는 proper 부호이다.

[특성 8] proper 부호의 쌍대부호는 반드시 proper 부호가 아니다.

[특성 9] 단축 Hamming 부호는 항상 proper 부호가 아니다.

[특성 10] 확대 Hamming 부호는 proper 부호이다.

여기서 단축 Hamming 부호의 미검출오류확률과 밀접한 관련이 있는 [특성 9]를 다음과 같이 증명한다.

[특성 9] 단축 Hamming 부호는 언제나 proper 부호가 아니다.

[증명]

다음과 같은 m 차 원시다항식을 생성다항식으

로 갖는 (n,k) 순회 Hamming 부호를 생각하여 보자.

$$g(x) = x^{10} + x^3 + 1$$

위의 생성다항식으로부터 (1023,1013) Hamming 부호의 비조직형 생성행열은 다음과 같이 구성될 수 있다.

$$G = \begin{bmatrix} 1 & 0 & 0 & 1 & 0 & 0 & 0 & 0 & 0 & 1 & 0 & 0 & 0 & \dots & 0 \\ 0 & 1 & 0 & 0 & 1 & 0 & 0 & 0 & 0 & 0 & 1 & 0 & 0 & \dots & 0 \\ 0 & 0 & 1 & 0 & 0 & 1 & 0 & 0 & 0 & 0 & 0 & 1 & 0 & \dots & 0 \\ \dots & \dots \end{bmatrix}$$

위의 생성다항식으로 얻어진 (1023,1013) Hamming 부호를 1012 비트 단축시킨 (11,1) 단축 Hamming 부호의 생성다항식은 다음과 같다.

$$G = [1 \ 0 \ 0 \ 1 \ 0 \ 0 \ 0 \ 0 \ 0 \ 1]$$

따라서 이 생성다항식을 이용한 (11,1) 단축 Hamming 부호의 미검출오류확률은 다음과 같다.

$$P_{ud} = e^3(1-e)^8$$

미검출확률의 최대값은 $e=3/11$ 일 때 임을 알 수 있다. 따라서 이론적인 미검출오류확률의 상한치와 (11,1) 단축 Hamming 부호의 미검출 확률의 최대값을 비교하면 다음과 같다.

$$P_{ud}(3/11) = 1.59 \times 10^{-3} > 2^{-(11-1)} = 9.77 \times 10^{-4}$$

그러므로 단축 Hamming 부호는 반드시 proper 부호가 아니다.

〈Q.E.D〉

V. 단축 Hamming 부호의 성능 분석

본 절에서는 검사비트의 길이가 16인 CRC 오류 검출부호를 도입한 후, 이에 대한 미검출오류확률을 구하기 위하여 단축 Hamming 부호의 일반적인 중분포를 구하는 방법과 단축 순회 Hamming 부호와 쌍대 부호와의 대수학적 관계를 이용하여 이에 대한 미검출오류확률을 구하는 기법을 제시한다. 이를 위해 도입된 오류검출부호는 CRC-CCITT 오류 검출부호와 16차 원시다항식으로 생성된 오류검출부호이다.

용어의 혼동을 피하기 위하여 Hamming 부호의 여러 version과 각각 부호의 중분포에 대한 약어를 다음과 같이 정의한다.

C_{2m-1} : $(2^m-1, 2^m-m-1)$ 순회 Hamming 부호

$C_{2m-1,e}$: $(2^m-1, 2^m-m-2)$ 소거 Hamming 부호

C_n : 순회 Hamming 부호를 단축시킨 $(n, n-m)$

단축 Hamming 부호

C'_n : C_n 의 쌍대부호

$C_{n,e}$: 소거 Hamming 부호를 단축시킨 $(n, n-m)$

단축 소거 Hamming 부호

$C'_{n,e}$: $C_{n,e}$ 의 쌍대부호

$B_{n,i}$: C'_n 의 중분포

$B_{n,i,n}$: $C'_{n,e}$ 의 중분포

V.1 CRC-CCITT 오류검출부호의 성능

CRC-CCITT 오류검출부호의 생성다항식은 다음과 같이 생성된다.

$$\begin{aligned} g(x) &= (1+x)p(x) = (1+x)(x^{15} + x^{14} + x^{13} + x^{12} + \\ &\quad x^4 + x^3 + x^2 + x + 1) \\ &= x^{16} + x^{12} + x^5 + 1 \end{aligned}$$

여기서 $p(x)$ 는 15차 원시다항식이다.

CRC-CCITT 오류검출부호의 생성다항식은 15차의 원시다항식에 $1+x$ 를 곱하여 형성된다. 따라서 CRC-CCITT 오류검출부호는 15차의 원시다항식을 생성다항식으로 갖는 기존의 $(2^m-1, 2^m-m-1)$ Hamming 부호의 부호어중 짹수 중

(even weight)을 갖는 부호어로 구성되어 있는 부호로서, 이는 소거 Hamming 부호(expurgated Hamming code)라 정의되고 있다.⁽⁶⁾⁽⁷⁾⁽⁸⁾ 한편 ATM cell의 부호장(code length)이 최소 33에서 최고 128 바이트이므로, 소거 Hamming 부호를 단축하여 cell의 부호장에 맞는 단축 소거 Hamming 부호를 구성한 후, 이 단축 소거 Hamming 부호의 쌍대부호의 중분포를 구한 후 이 부호들의 대수학적 특징을 이용하여 오류검출부호의 미검출오류확률을 구할 수 있다.

단축 소거 Hamming 부호로부터 직접 쌍대부호의 중분포를 구하는 것은 쉽지 않으므로 본 논문에서는 원시다항식 $p(x)$ 로부터 생성된 순회 Hamming 부호를 단축시킨 단축 Hamming 부호(C_n)을 이용하여 C'_n 으로부터 $C'_{n,e}$ 과의 중분포 관계식을 이용하여 소거 단축 Hamming 부호의 중분포를 구하는 간접적인 방식을 이용하였다.

$GF(2^m)$ 상의 m 차 원시다항식은 일반적으로 (8)식과 같이 표기된다.

$$p(x) = \sum_{j=0}^m p_j x^j \quad (8)$$

(8)식의 원시다항식을 이용하여 생성된 $(2^m-1, 2^m-m-1)$ Hamming 부호의 쌍대부호는 “0”벡터를 제외한 모든 부호어의 종이 2^{m-1} 인 simplex 부호로서, 부호의 제원은 다음과 같다.⁽⁶⁾⁽⁷⁾⁽⁸⁾

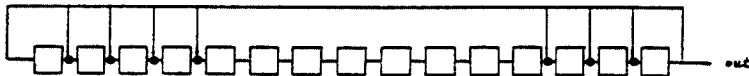
부호장 (code length), $n=2^m-1$

정보장 (information length), $k=m$

최소거리 (minimum distance), $d_{min}=2^{m-1}$

한편 simplex 부호는 $p(x)$ 의 계수 p_j 가 feed-back 템의 계수인 m 단 시프트 레지스터를 이용하여 생성된다. 그리고 연속된 계열의 주기가 2^{m-1} 이므로 simplex 부호는 최대장계열부호(maximal length sequence code, 이하 C_{max} 라 표기)라 정의되기도 한다. CRC-CCITT 오류검출부호는 m 이 15이므로 이와 대응되는 최대장계열부호, C_{max} 는 <그림 5>와 같은 회로를 이용하여 형성될 수 있

다.

그림 5. C_{\max} 를 구하기 위한 회로

C_{\max} 는 (8)식을 이용하여 다음과 같이 표현될 수 있다.

$$a_0=1$$

$$a_i=0, 1 \leq i \leq m-1$$

$$a_i = \sum_{j=0}^{m-1} p_j a_{i+j-m}, m \leq i < 2^m - 1 \quad (9)$$

$a_0=1, a_i=0, 1 \leq i \leq m-1$ 로 설정은 m 단의 시프트 레지스터의 초기값을 $GF(2^m)$ 상의 체원소 (field element) 중의 하나의 원소에 대응한 것이며, 여기서는 α 에 대응한 벡터값을 회로의 초기값으로 설정하였다. (9)식을 이용하여 순차적으로 $a_0, a_1, a_2, \dots, a_m, \dots, a_{2^m-1}$ 을 생성하여, 이 계열을 2^m-1 비트씩 나눈 2^m-1 개의 계열은 각각 C'_{2^m-1} 의 한 부호어가 된다. 그리고 이 계열을 n bit 크기로 나눈 2^{m-1} 개의 벡터가 영베타를 제외한 C'_n 의 모든 부호이므로 이 계열을 이용하여 C'_n 의 중, $B_{n,1}$ 을 계산할 수 있다. 따라서 C'_n 의 중분포 $B_{n,1}$ 과 C_n 의 중분포 $B_{n,1,e}$ 의 관계식을 이용하여 $B_{n,1,e}$ 를 구할 수 있다. 따라서 CRC-CCITT 오류검출부호의 미검출오류확률은 $B_{n,1,e}$ 를 이용하여 계산된다. 그러나 이 방법은 최대장계열을 한 비트씩 쉬프트한 후 이에 대한 중을 계산해야 하므로 m 이 증가함에 따라 엄청난 반복계산이 요구되고 따라서 계산시간 또한 오래 걸리는 단점이 있다. CRC-CCITT 오류검출부호의 경우, m 이 15이므로 $(2^{15}-1=32767)$ 개의 최대장계열비트를 32767번 반복하여 중분포를 구할 수 있다. 이러한 문제점을 극복하기 위하여 Trace 개념을 사용하여 a_i 를 비트 단위가 아닌 여러 비트 단위로 계산하는 기법의 이론적 배경을 다음부터 제시한다..

$GF(2^m)$ 상의 임의의 유한체 원소를 β 라 할 경우, β 의 Trace 값을 다음과 같이 정의된다..

$$\text{Tr}(\beta) = \sum_{i=0}^{m-1} \beta^{2^i} \quad \text{Tr}(\beta) \in GF(2) \quad (10)$$

그리고 $p(x)$ 의 근을 α 라 정의할 때 b_i 를 다음과 같이 정의한다.

$$b_i = \text{Tr}(\alpha^i), 0 \leq i \leq 2^m - 1$$

임의의 $h, 0 \leq h \leq m$ 에 대해 α^{2^h} 가 $p(x)$ 의 근이 되므로, 이 특성을 (8)식에 대입하고 Trace의 선형성을 이용하여 다음과 같은 식이 유도될 수 있다.

$$\begin{aligned} p(\alpha^{2^h}) &= \sum_{j=0}^{m-1} p_j (\alpha^{2^h})^j \\ &= \sum_{j=0}^{m-1} p_j (\alpha^{2^h})^j + p_m (\alpha^{2^h})^m \end{aligned} \quad (11)$$

(11) 식은 다음과 같이 변형될 수 있다.

$$(\alpha^{2^h})^m = \sum_{j=0}^{m-1} p_j (\alpha^{2^h})^j$$

위식의 양변에 α^l 를 곱한 후 Trace를 취하면 다음과 같은 식이 유도된다.

$$\begin{aligned} \text{Tr}(\alpha^{l+m2^h}) &= \text{Tr}(\alpha^l \sum_{j=0}^{m-1} p_j (\alpha^{2^h})) \\ &= \text{Tr}(\sum_{j=0}^{m-1} p_j (\alpha^{l+2^h})) \\ &= \sum_{j=0}^{m-1} p_j \text{Tr}(\alpha^{l+2^h}) \end{aligned}$$

$b_l = \text{Tr}(\alpha^l)$ 이므로 위의 식은 다음과 같이 변형될 수 있다.

$$b_{l+m2^h} = \sum_{j=0}^{m-1} p_j b_{l+2^h}, 0 \leq l \leq 2^m - 2 \quad (12)$$

$h=0$ 인 경우, (12) 식은 다음과 같다.

$$b_{i+m} = \sum_{j=0}^{m-1} g_j b_{i+j}, \quad 0 \leq j \leq 2^m - 2$$

위 식에서 $i+m$ 를 k 로 치환하면,

$$b_k = \sum_{j=0}^{m-1} g_j b_{k+j-m}, \quad 0 \leq j \leq 2^m - 2$$

로 되어 (9)식과 같은 형태로 변경될 수 있다. 따라서 (9)식, (12)식으로부터 특정 정수 u 에 대해 (13)식이 성립한다.

$$b_{i+u} = a_i \quad (13)$$

한편 $h \neq 0$ 인 일반적인 경우를 유도하기 위하여 (12)식에서 $i+m2^h=k$ 로 치환하면 다음과 같이 변형된다.

$$b_k = \sum_{j=0}^{m-1} g_j b_{k+(j-m)2^h} \quad (14)$$

(14)식은 (9)식에 a 를 b 로, p 를 g 로 치환하고, $h=0$ 인 경우 (9)식과 (14)식은 완전히 일치하므로 $h \neq 0$ 인 일반적인 경우에 대한 최대장계열을 (9)식 대신 (14)식의 형태로 표현하면 (15)식과 같다.

$$a_i = \sum_{j=0}^{m-1} g_j a_{i+j-m} 2^h \quad (15)$$

따라서 (15)식을 이용하면, 최대장계열은 비트 단위가 아닌 2^h 비트 단위로 구할 수 있다. 2^h 개의 \bar{a}_i 를 하나의 벡터로 구성하기 위해 벡터 \bar{a}_i 를 다음과 같이 정의하자.

$$\bar{a}_i = (a_{i2^h}, a_{i2^h+1}, \dots, a_{i2^h+2^h-1}) \quad (16)$$

(16)식을 (15)식에 대입하여 전개하면 (17)식이 유도된다.

$$a_i = (\sum_{j=0}^{m-1} g_j a_{(i+j-m)2^h}, \sum_{j=0}^{m-1} g_j a_{(i+j-m)2^h+1}, \dots,$$

$$\sum_{j=0}^{m-1} g_j a_{(i+j-m)2^h+2^h-1})$$

$$= \sum_{j=0}^{m-1} g_j (a_{(i+j-m)2^h}, a_{(i+j-m)2^h+1}, \dots,$$

$$a_{(i+j-m)2^h+2^h-1})$$

$$= \sum_{j=0}^{m-1} g_j a_{i+j-m} \quad (17)$$

여기서 2^h 는 구체적으로 계산시 처리해야 할 비트 수이다. 따라서 효율적으로 계산을 수행하기 위하여 컴퓨터에서의 한 워드 크기에 해당하는 h 를 선택하는 것이 계산속도를 빠르게 할 수 있다. (17)식을 이용하여 (16)식의 2^h 비트로 구성된 최대장계열 벡터를 순차적으로 구하기 위하여 (9)식에 의해 $a_0, a_1, a_2, \dots, a_{m-1}$ 을 먼저 구해야 한다. 위의 계열을 2^h 비트 단위로 나누어 $\bar{a}_0, \bar{a}_1, \dots, \bar{a}_{m-1}$ 의 최대장 벡터를 구성한다. 그러면 나머지 최대장계열 벡터들, $\bar{a}_m, \bar{a}_{m+1}, \bar{a}_{m+2}, \dots, \bar{a}_{2^m-1}$, 은 (17)식을 이용하여 m 개의 벡터들끼리의 벡터 단위 Exclusive OR 연산을 통해 차례대로 구해질 수 있다. 이렇게 구해진 최대장계열 벡터들로부터 C'_{2^m-1} 의 부호어는 구해질 수 있다. 그리고 C'_n 의 중분포를 구하기 위하여, 위에서 구한 최대장계열을 n 비트 단위로 나눈 후, 각각의 벡터가 C'_n 의 부호어가 되므로 부호장이 n 인 2^m-1 개의 부호어는 (18)식과 같이 형성된다.

$$v_i = (a_i, a_{i+1}, a_{i+2}, \dots, a_{i+n-1}), \quad 0 \leq i \leq 2^m - 2 \quad (18)$$

(18)식으로부터 C'_n 의 부호어의 종은 (19)식을 이용하여 구할 수 있다.

$$w(\bar{v}_{i+1}) = w(\bar{v}_i) + a_{i+n} - a_i \quad (19)$$

여기서 w 는 벡터의 종을 나타내며, a_{i+n} 에서의 $i+n$ 은 modulo 2^m-1 연산이 적용된다. (19)식을 이용하여 C'_n 의 중분포 ($B_{n,i}$)를 구할 수 있다. 한편, 단축 소거 Hamming 부호의 쌍대부호 C'_n 의 종분포 $B_{n,i,e}$ 와 $B_{n,i}$ 의 관계는 (20)식과 같다.

$$B_{n,i,e} = B_{n,i} + B_{n,n-i} \quad (20)$$

(20)식에서 구한 종분포를 (7)식에 대입하면 BSC에서의 채널 천이 확률, e 에 따른 단축 소거 Ham-

ming 부호의 미검출오류률을 구할 수 있다.

V-2. 16차 원시 다항식 CRC 오류검출부호의 성능

CRC-CCITT 오류검출부호의 생성 다항식은 16 차의 원시다항식이 아니므로 일단 $p(x)$ 로 Hamming 부호, C_{2m-1} 를 단축시켜서 원하는 부호장 및 정보장을 갖는 단축 Hamming 부호, C_n 의 쌍대부호의 중분포를 구한 후, 이를 (20)식에 대입하여 단축 소거 Hamming 부호의 쌍대부호의 중분포, $B_{n,1,e}$ 를 구했다. 그러나 오류검출부호의 생성다항식이 원시다항식일 경우, 단축 소거 Hamming 부호가 아닌 원래의 Hamming 부호, C_{2m-1} 를 구성할 수 있다. 본 논문에서는 cell의 오류검출부호의 생성다항식을 16차 원시다항식 중 하나를 채택하여 V.1 절과 비슷한 과정을 반복하여 ($n,n-m$) 단축 Hamming 부호의 쌍대부호의 중분포와 미 검출오류률을 계산하였다. 16차 원시다항식은 (21)식과 같다.^{[1][6]}

$$g(x) = x^{16} + x^{12} + x^3 + x + 1 \quad (21)$$

VI. 성능 분석 절차 및 분석 결과 검토

CRC-CCITT 부호와 원시다항식 CRC 부호의 쌍대부호의 중분포 및 미검출오류률을 각각 구하기 위해서 다음과 같은 절차에 의해 성능 분석을 수행하였다. 이를 위해 이용된 컴퓨터는 IBM PC / AT이고, 프로그램 언어는 Basic 언어를 이용하였다. 그리고 프로그램 길이는 400 라인 정도였다.

V.1 CRC-CCITT 오류검출부호의 성능 분석 절차

단계 1) (9)식에 의해 a_0-a_{29} 까지 최대 장계열을 생성.

단계 2) a_0-a_{29} 를 $2^4 (=16)$ 비트 단위로 분할하여 벡터 $\bar{a}_0-\bar{a}_{14}$ 형성

단계 3) (17)식을 이용하여, 벡터 $\bar{a}_{15}-\bar{a}_{2047}$ 형성.

단계 4) 최대 장계열 a_0-a_{32767} 배열.

단계 5) C'_n 의 부호장이 n 이므로 a_0-a_{n-1} 까지의 중을 구한 후, 이를 벡터 \bar{v}_0 의 중으로 선택.

단계 6) (19)식을 이용하여 32767 개의 벡터 \bar{v}_1 의 해밍중 (Hamming weight) 계산.

단계 7) (20)식을 이용하여 $B_{n,1,e}$ 를 계산.

단계 8) (7)식을 이용하여 CRC-CCITT의 미검출 오류률을 구함.

VI.2 원시다항식 CRC 오류검출부호의 성능 분석

절차

단계 1) (9)식에 의해 a_0-a_{256} 까지 최대 장계열 생성.

단계 2) a_0-a_{256} 를 $2^4 (=16)$ 비트 단위로 분할하여 벡터 $\bar{a}_0-\bar{a}_{15}$ 형성.

단계 3) (17)식을 이용하여, 벡터 $\bar{a}_{16}-\bar{a}_{4095}$ 형성.

단계 4) 최대 장계열 a_0-a_{65535} 배열.

단계 5) C'_n 의 부호장이 n 이므로 a_0-a_{n-1} 까지의 해밍중을 구한 후, 이를 벡터 \bar{v}_0 의 중으로 선택.

단계 6) (19)식을 이용하여 65535 개의 벡터 \bar{v}_1 의 중 계산.

단계 7) (7)식을 이용하여 원시다항식 CRC 부호의 미검출오류률을 계산.

CCITT에서는 ATM cell의 정보부의 크기를 32-120 바이트로, 헤더부의 크기를 3-8 바이트로 잠정 권고하고 있음을 고려하여, ($n,n-m$) 단축 소거 Hamming 부호의 부호장 n 을 ATM cell의 최대 크기와 최소 크기내에서 변환시켜 가면서 각 길이 n 에 대해 두개의 오류검출부호에 대한 중분포들을 구하고 이를 기초로하여 각 오류검출부호에 대한 미검출오류률을 계산하였다. VI.1과 VI.2절의 과정을 이용하여 얻어진 CRC-CCITT 오류검출부호와 원시다항식 CRC 오류검출부호의 중분포는 <부록>의 <표1><표2>와 같으며, 단축 정도에 따른 미검출오류률 및 2^{-n-k} 상한치와의

관계 <그림 6> <그림 7>과 같으며, 길이가 126, 94, 62, 32일 경우의 두 오류검출부호의 성능 비교는 각각 <그림 8>, <그림 9>, <그림 10>, <그림 11>과 같다. 위의 그림에서 알 수 있듯이, CRC-CCITT 의 미검출오류확률은 부호장이 32-120 바이트 범위내에서 원시다항식 CRC 부호보다 미검출오류확률 측면에서 우수하고, 부호장이

32 바이트 이하일 경우 원시다항식 CRC 부호가 성능이 CRC-CCITT 오류검출부호보다 우수하다. 그리고 <그림 6>에서 알 수 있듯이 CRC-CCITT 부호의 미검출오류확률은 부호장이 8바이트 일 때 $2^{-(n-k)}$ 상한치를 초과하고 있다. 또한 두 오류검출부호 공히 부호장이 6 바이트 이하일 경우 $2^{-(n-k)}$ 상한치를 초과함을 알 수 있었다.

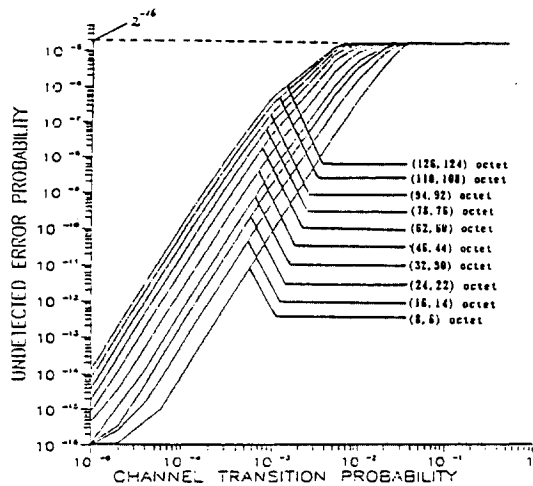


그림 6. CRC-CCITT 오류검출부호의 미검출오류확률
undetected error probability of CRC-CCITT

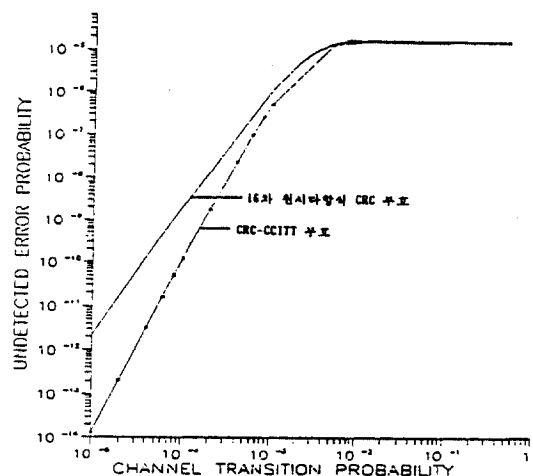


그림 8. 부호장이 126 일때의 두 부호의 성능 비교
comparison of the undetected error probability, n=126

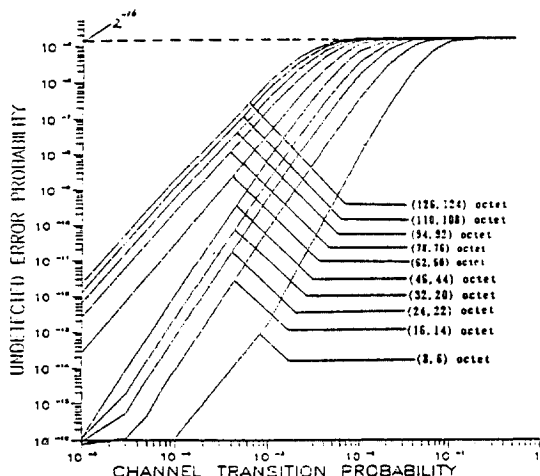


그림 7. 원시다항식 CRC 오류검출부호의 미검출오류확률
undetected error probability of primitive CRC

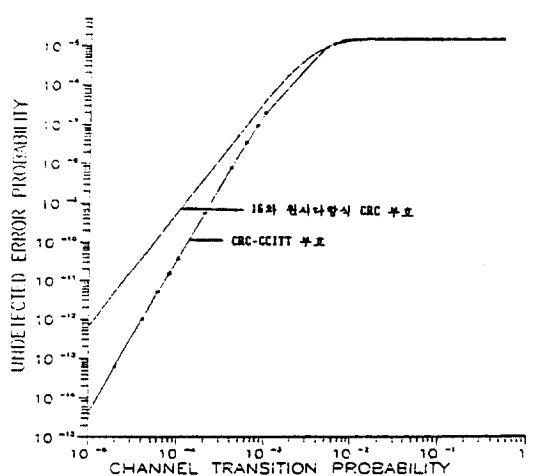


그림 9. 부호장이 94 일때의 두 부호의 성능 비교
comparison of the undetected error probability, n=94

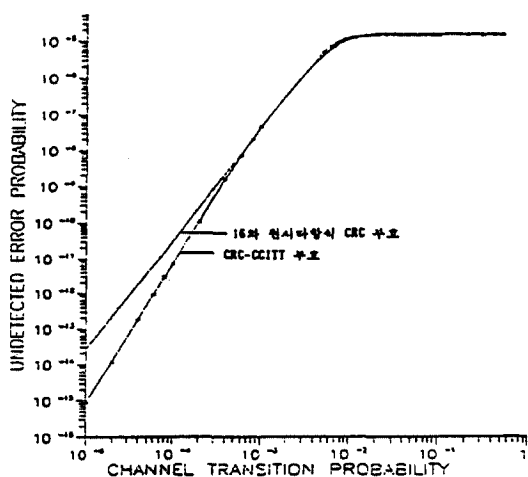


그림 10. 부호장이 62 일때의 두 부호의 성능 비교
comparison of the undetected error probability, $n=6$
2

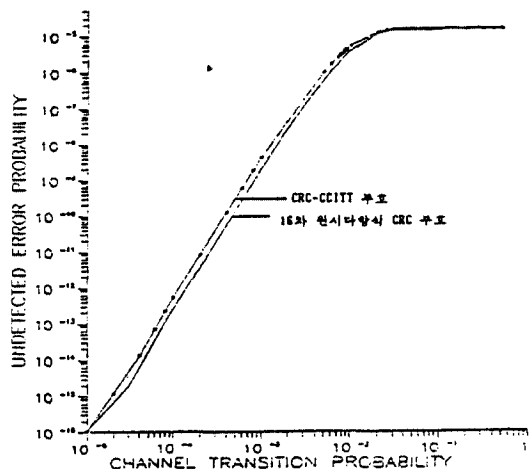


그림 11. 부호장이 32 일때의 두 부호의 성능 비교
comparison of the undetected error probability, $n=3$
2

VII. 결 론

CCITT에서는 광대역 ISDN의 UNI의 전송방식

으로 ATM 전송방식을 권고하였으며, cell에 발생하는 오류제어 기법에 대한 연구가 활발히 논의 / 토의되고 있다.⁽⁴⁾ 본 논문에서는 cell에서 발생하는 오류를 검출하기 위하여 CRC-CCITT 부호와 GF(2) 상의 16차의 원시다항식 CRC 오류검출부호를 도입하였다. 그리고 Hamming 부호와 단축 Hamming 오류검출부호의 성능을 분석하기 위하여 미검출오류확률에 대한 일반적 이론을 분석 / 제시하였고, (n, k) 선형 Hamming 오류검출부호와 단축 소거 Hamming 오류검출부호의 충분포를 구하기 위한 새로운 기법을 제시한 후, 이 결과를 이용하여 CCITT-CRC와 원시다항식 CRC 오류검출부호를 ATM cell에 적용하였다고 가정하고 이에 대한 미검출오류확률을 구했다. 특히 cell 크기가 현재 CCITT에서 확실히 권고되지 않았음을 고려하여 단축 정도를 변화하면서 두 CRC 오류검출부호의 성능을 분석 / 비교하였다.

분석 / 비교 결과, CRC-CCITT 오류검출부호는 원시다항식 CRC 오류검출부호에 비교하면 단축 정도가 크지 않을 경우 미검출오류확률 측면에서 성능이 더 우수하나, 단축 정도가 매우 를 경우 원시다항식 CRC 오류검출부호가 성능이 더 우수함을 알 수 있었다. 그리고 두 오류검출부호 공히 단축 정도가 클 경우 $2^{-(n-k)}$ 상한을 만족하지 않았다.

参 考 文 献

1. 이만영, 부호 이론, 회중당, 1984.
2. S.K.L.Y. Cheong, E.R. Barnes, and D.U. Friedman, "Some properties of Undetected Error Probability of Linear Code," IEEE Trans. on Inform. Theory, vol. IT-25, pp.110-112, Jan. 1979.
3. W.Stallings, Data and Computer Communications, MacMillan Publishing Co, New York, 1985.
4. CCITT, "Part C of the Seoul Meeting", 25.Jan.-5.Feb. 1988.

5. S.K. L.Y. Cheong and M.E. Hellman, "Concerning a Bound on Undetected Error Probability," IEEE Trans. on Inform. Theory, vol. IT-22, pp.235-237, Mar. 1976.
6. F.J. MacWilliams and N.J.A. Sloane, Theory of Error-Correcting Codes, North-Holland, Amsterdam, The Netherlands, 1977.
7. S.Lin and D.J. Costello, Error Control Coding: Fundamentals and Applications, Prentice-Hall, Englewood Cliffs, NJ, 1983.
8. E.R. Berlekamp, Algebraic Coding Theory, McGraw-Hill Book Co., New York, 1968.
9. J.K. Wolf, and A.H. Levesque, "On the Probability of Undetected Error for Linear Block Codes", IEEE Trans. on Commun. Theory, vol.COM-30, pp.317-324, Feb. 1982.
10. S.C. Chang and Jack K. Wolf, "A Simple Derivation of the MacWilliams' Identity for Linear Codes," IEEE Trans. on Inform. Theory, vol. IT-26, pp.476-477, July. 1980.
11. T.Fujiiwara, T.Kasami and S. Lin, "Error Detecting Capabilities of the Shortened Hamming Code Used for the Ethernet," 일본 전자통신학회 논문지, vol.J6 9-A, No.6, June. 1986.
12. T. Fujiiwara, T.Kasami, A. Kitai, and S. Lin, "On the Undetected Error Probability for Shortened Hamming Codes", IEEE Trans. on Commun., vol.COM-33, No. 6, June. 1985.
13. T.Kasami, T. Klove and S.Lin, "Linear Block Codes for Error Detection" IEEE Trans. on Inform. Theory, vol IT-29, pp.131-136, Jan. 1983.

부록 CRC-CCITT 와 원시다항식 CRC 오류검출부호의 중분포

표 1. CRC-CCITT 오류검출부호의 쌍대부호의 중분포
weight distribution of CRC CCITT's dual code

(126, 124) octet				(110, 108) octet				(94, 92) octet				
I	B _{n-1}	B _{n-2}	B _{n-3}	I	B _{n-1}	B _{n-2}	B _{n-3}	I	B _{n-1}	B _{n-2}	B _{n-3}	
0	1	588	1935	0	1	443	1135	0	1	286	1455	
452	2	589	1985	554	1	450	1312	551	2	387	1322	
453	3	510	1822	555	2	551	1156	552	5	588	1357	
454	4	511	1684	556	16	552	1147	553	6	589	1237	
455	5	512	1488	557	47	553	1014	554	12	590	1195	
456	6	513	1276	558	98	554	1018	555	15	591	1056	
457	7	514	1297	559	145	555	575	556	47	592	1006	
458	8	515	1148	560	125	552	553	553	551	593	951	
459	9	516	1025	561	82	557	502	554	67	594	859	
460	10	517	935	562	47	558	593	555	45	595	825	
461	11	518	807	563	50	559	568	560	106	596	479	
462	12	519	800	564	51	560	554	561	103	597	651	
463	13	520	651	565	52	561	528	572	15	598	540	
464	14	521	515	566	103	562	563	567	94	599	495	
465	15	522	494	567	146	563	568	564	99	600	482	
466	16	523	464	568	144	564	569	565	96	601	352	
467	17	524	552	569	144	565	570	565	96	602	322	
468	18	525	575	570	126	566	567	565	101	603	239	
469	19	526	556	571	126	567	568	565	103	604	164	
470	20	527	496	572	128	568	569	566	104	605	148	
471	21	528	510	573	126	569	570	568	104	606	140	
472	22	529	529	574	126	570	571	569	104	607	116	
473	23	530	495	575	128	571	572	570	105	608	106	
474	24	531	582	576	112	572	573	571	105	609	96	
475	25	532	581	577	114	573	574	572	105	610	86	
476	26	533	578	578	114	574	575	573	105	611	76	
477	27	534	582	579	114	575	576	574	105	612	66	
478	28	535	579	579	114	576	577	575	105	613	56	
479	29	536	577	579	114	577	578	576	105	614	46	
480	30	537	576	579	114	578	579	577	105	615	36	
481	31	538	575	579	114	579	579	578	105	616	26	
482	32	539	574	579	114	580	579	579	105	617	16	
483	33	540	573	579	114	581	579	579	105	618	6	
484	34	541	572	579	114	582	579	579	105	619	-1	
485	35	542	571	579	114	583	579	579	105	620	-11	
486	36	543	570	579	114	584	579	579	105	621	-21	
487	37	544	569	579	114	585	579	579	105	622	-31	
488	38	545	568	579	114	586	579	579	105	623	-41	
489	39	546	567	579	114	587	579	579	105	624	-51	
490	40	547	566	579	114	588	579	579	105	625	-61	
491	41	548	565	579	114	589	579	579	105	626	-71	
492	42	549	564	579	114	590	579	579	105	627	-81	
493	43	550	563	579	114	591	579	579	105	628	-91	
494	44	551	562	579	114	592	579	579	105	629	-101	
495	45	552	561	579	114	593	579	579	105	630	-111	
496	46	553	560	579	114	594	579	579	105	631	-121	
497	47	554	559	579	114	595	579	579	105	632	-131	
498	48	555	558	579	114	596	579	579	105	633	-141	
499	49	556	557	579	114	597	579	579	105	634	-151	
500	50	557	556	579	114	598	579	579	105	635	-161	
501	51	558	555	579	114	599	579	579	105	636	-171	
502	52	559	554	579	114	600	579	579	105	637	-181	
503	53	560	553	579	114	601	579	579	105	638	-191	
504	54	561	552	579	114	602	579	579	105	639	-201	
505	55	562	551	579	114	603	579	579	105	640	-211	
506	56	563	550	579	114	604	579	579	105	641	-221	
507	57	564	549	579	114	605	579	579	105	642	-231	
508	58	565	548	579	114	606	579	579	105	643	-241	
509	59	566	547	579	114	607	579	579	105	644	-251	
510	60	567	546	579	114	608	579	579	105	645	-261	
511	61	568	545	579	114	609	579	579	105	646	-271	
512	62	569	544	579	114	610	579	579	105	647	-281	
513	63	570	543	579	114	611	579	579	105	648	-291	
514	64	571	542	579	114	612	579	579	105	649	-301	
515	65	572	541	579	114	613	579	579	105	650	-311	
516	66	573	540	579	114	614	579	579	105	651	-321	
517	67	574	539	579	114	615	579	579	105	652	-331	
518	68	575	538	579	114	616	579	579	105	653	-341	
519	69	576	537	579	114	617	579	579	105	654	-351	
520	70	577	536	579	114	618	579	579	105	655	-361	
521	71	578	535	579	114	619	579	579	105	656	-371	
522	72	579	534	579	114	620	579	579	105	657	-381	
523	73	580	533	579	114	621	579	579	105	658	-391	
524	74	581	532	579	114	622	579	579	105	659	-401	
525	75	582	531	579	114	623	579	579	105	660	-411	
526	76	583	530	579	114	624	579	579	105	661	-421	
527	77	584	529	579	114	625	579	579	105	662	-431	
528	78	585	528	579	114	626	579	579	105	663	-441	
529	79	586	527	579	114	627	579	579	105	664	-451	
530	80	587	526	579	114	628	579	579	105	665	-461	
531	81	588	525	579	114	629	579	579	105	666	-471	
532	82	589	524	579	114	630	579	579	105	667	-481	
533	83	590	523	579	114	631	579	579	105	668	-491	
534	84	591	522	579	114	632	579	579	105	669	-501	
535	85	592	521	579	114	633	579	579	105	670	-511	
536	86	593	520	579	114	634	579	579	105	671	-521	
537	87	594	519	579	114	635	579	579	105	672	-531	
538	88	595	518	579	114	636	579	579	105	673	-541	
539	89	596	517	579	114	637	579	579	105	674	-551	
540	90	597	516	579	114	638	579	579	105	675	-561	
541	91	598	515	579	114	639	579	579	105	676	-571	
542	92	599	514	579	114	640	579	579	105	677	-581	
543	93	600	513	579	114	641	579	579	105	678	-591	
544	94	601	512	579	114	642	579	579	105	679	-601	
545	95	602	511	579	114	643	579	579	105	680	-611	
546	96	603	510	579	114	644	579	579	105	681	-621	
547	97	604	509	579	114	645	579	579	105	682	-631	
548	98	605	508	579	114	646	579	579	105	683	-641	
549	99	606	507	579	114	647	579	579	105	684	-651	
550	100	607	506	579	114	648	579	579	105	685	-661	
551	101	608	505	579	114	649	579	579	105	686	-671	
552	102	609	504	579	114	650	579	579	105	687	-681	
553	103	610	503	579	114	651	579	579	105	688	-691	
554	104	611	502	579	114	652	579	579	105	689	-701	
555	105	612	501	579	114	653	579	579	105	690	-711	
556	106	613	500	579	114	654	579	579	105</td			

표 2. 원시다항식 CRC 오류검출부호의 쌍대부호의 중분포
weight distribution of primitive CRC's dual code

(126,124) octet			(110,108) octet			(94,92) octet		
1	$\theta_{n,1}$	1	$\theta_{n,1}$	1	$\theta_{n,1}$	1	$\theta_{n,1}$	1
0	512	1612	0	456	944	0	331	240
458	5	513	1546	402	8	327	333	333
459	10	514	1511	403	24	326	333	731
460	15	515	1477	404	56	325	10	333
461	20	516	1183	405	84	320	21	363
462	25	517	1138	406	120	317	44	356
463	8	518	1176	407	181	312	47	337
464	13	519	1088	408	208	313	65	336
465	37	520	1011	409	204	314	106	335
466	71	521	935	410	252	315	93	400
467	59	522	821	411	343	316	254	373
468	115	523	765	412	381	317	551	402
469	154	524	635	413	356	318	534	554
470	156	525	663	414	446	308	319	314
471	144	526	592	415	628	470	281	350
472	213	527	585	416	704	471	234	356
473	322	528	408	417	750	472	192	352
474	409	529	403	418	410	473	155	333
475	414	530	118	419	417	474	120	355
476	544	531	354	420	355	475	81	673
477	502	532	381	421	818	476	78	355
478	730	533	307	422	552	477	94	357
479	662	534	291	423	818	478	58	358
480	673	535	153	424	736	479	57	357
481	681	536	281	425	301	480	29	1856
482	668	537	273	426	465	481	35	381
483	684	538	181	427	325	482	28	353
484	625	539	115	428	525	483	15	353
485	640	540	122	429	384	484	67	353
486	502	541	21	430	199	485	62	356
487	542	542	49	431	125	486	31	356
488	764	543	52	432	142	487	55	357
489	765	544	53	433	143	488	30	358
490	741	545	57	434	127	489	23	358
491	871	546	57	435	197	490	21	371
492	511	547	63	436	1442	491	12	371
493	523	548	42	437	1689	492	11	371
494	1028	549	46	438	1957	493	1	373
495	1251	550	62	439	1935	494	1	373
496	1496	551	27	440	1863	495	1	375
497	1594	552	21	441	1907	496	1	375
498	1758	553	19	442	1787	497	1	377
499	1969	554	10	443	1610	498	1	377
500	1336	555	6	444	1587	499	1	381
501	1590	556	18	445	1602	500	1	380
502	1591	557	14	446	1603	501	1	381
503	1853	558	11	447	1763	502	1	381
504	1830	559	1	448	1732	503	1	382
505	1691	560	5	449	1636	504	1	384
506	1547	561	7	450	1553	505	1	385
507	1374	562	2	451	1500	506	1	386
508	1475	1002	1	452	1372	507	1	387
509	1546	563	11	453	1342	508	1	388
510	1504	564	52	454	1253	509	1	389
511	1528	565	31	455	1190	510	1	385

廉興烈(Heung Youl YOUNG) 正會員
1959年2月10日生
1981年：漢陽大學校 電子工學科 卒業
1983年：漢陽大學校 大學院 電子工學科
工學碩士
1983年～現在：漢陽大學校 大學院 電子
工學科 博士課程中
1982年12月～現在：韓國電子通信研究所
 철속시스템研究室 先任研究员



梁承杜(Seung Doo YANG) 準會員
1965年1月13日生
1983年3月～1987年2月：漢陽大學校工
科大學 電子通信工學科(學
士)
1987年3月～1989年2月：漢陽大學校大
學院 電子通信工學科(碩士)
1989年～現在：三星電子(株) 미니컴퓨터
開發室 研究員



(70,76) octet			(42,48) octet			(44,44) octet			(32,30) octet		
i	b _{i-1}	b _i									
0	1	338	338	0	1	264	0	0	264	337	1
1	5	338	338	1	265	668	158	0	265	336	1
2	11	332	668	216	-2	256	572	151	12	267	335
3	27	332	668	216	3	267	519	152	27	267	334
4	33	332	770	216	10	267	519	152	27	267	333
5	50	334	349	213	11	268	410	152	12	268	334
6	66	332	349	214	23	269	332	154	15	269	335
7	82	332	349	214	25	270	383	155	10	270	336
8	98	336	364	215	30	271	343	156	11	271	337
9	114	337	370	215	35	272	235	157	11	272	337
10	130	337	370	215	36	273	198	158	11	273	338
11	147	338	370	215	37	274	193	159	11	274	338
12	163	340	386	216	38	275	174	160	10	275	338
13	179	340	386	216	39	276	167	161	9	276	338
14	195	340	386	216	40	277	129	162	9	277	338
15	211	347	393	222	41	278	91	163	22	278	337
16	227	347	393	222	42	279	61	164	22	279	337
17	243	346	393	222	43	280	32	165	21	280	336
18	259	344	393	222	44	281	65	166	21	281	336
19	275	347	393	222	45	282	32	167	21	282	336
20	291	349	393	222	46	283	164	168	1	283	336
21	307	349	393	222	47	284	25	168	16	284	336
22	323	349	393	222	48	285	129	169	16	285	337
23	339	347	393	222	49	286	91	170	16	286	337
24	355	344	393	222	50	287	61	171	16	287	337
25	371	344	393	222	51	288	32	172	16	288	337
26	387	344	393	222	52	289	65	173	16	289	337
27	403	344	393	222	53	290	32	174	16	290	337
28	419	344	393	222	54	291	65	175	16	291	337
29	435	344	393	222	55	292	32	176	16	292	337
30	451	344	393	222	56	293	65	177	16	293	337
31	467	344	393	222	57	294	32	178	16	294	337
32	483	344	393	222	58	295	65	179	16	295	337
33	499	344	393	222	59	296	32	180	16	296	337
34	515	351	400	223	60	297	164	181	16	297	337
35	531	351	400	223	61	298	129	182	16	298	337
36	547	351	400	223	62	299	91	183	16	299	337
37	563	351	400	223	63	300	61	184	16	300	337
38	579	351	400	223	64	301	32	185	16	301	337
39	595	351	400	223	65	302	65	186	16	302	337
40	611	351	400	223	66	303	32	187	16	303	337
41	627	351	400	223	67	304	65	188	16	304	337
42	643	351	400	223	68	305	32	189	16	305	337
43	659	351	400	223	69	306	65	190	16	306	337
44	675	351	400	223	70	307	32	191	16	307	337
45	691	351	400	223	71	308	65	192	16	308	337
46	707	351	400	223	72	309	32	193	16	309	337
47	723	351	400	223	73	310	65	194	16	310	337
48	739	351	400	223	74	311	32	195	16	311	337
49	755	351	400	223	75	312	65	196	16	312	337
50	771	351	400	223	76	313	32	197	16	313	337
51	787	351	400	223	77	314	65	198	16	314	337
52	803	351	400	223	78	315	32	199	16	315	337
53	819	351	400	223	79	316	65	200	16	316	337
54	835	351	400	223	80	317	32	201	16	317	337
55	851	351	400	223	81	318	65	202	16	318	337
56	867	351	400	223	82	319	32	203	16	319	337
57	883	351	400	223	83	320	65	204	16	320	337
58	899	351	400	223	84	321	32	205	16	321	337
59	915	351	400	223	85	322	65	206	16	322	337
60	931	351	400	223	86	323	32	207	16	323	337
61	947	351	400	223	87	324	65	208	16	324	337
62	963	351	400	223	88	325	32	209	16	325	337
63	979	351	400	223	89	326	65	210	16	326	337
64	995	351	400	223	90	327	32	211	16	327	337
65	1011	351	400	223	91	328	65	212	16	328	337
66	1027	351	400	223	92	329	32	213	16	329	337
67	1043	351	400	223	93	330	65	214	16	330	337
68	1059	351	400	223	94	331	32	215	16	331	337
69	1075	351	400	223	95	332	65	216	16	332	337
70	1091	351	400	223	96	333	32	217	16	333	337
71	1107	351	400	223	97	334	65	218	16	334	337
72	1123	351	400	223	98	335	32	219	16	335	337
73	1139	351	400	223	99	336	65	220	16	336	337
74	1155	351	400	223	100	337	32	221	16	337	337
75	1171	351	400	223	101	338	65	222	16	338	337
76	1187	351	400	223	102	339	32	223	16	339	337
77	1203	351	400	223	103	340	65	224	16	340	337
78	1219	351	400	223	104	341	32	225	16	341	337
79	1235	351	400	223	105	342	65	226	16	342	337
80	1251	351	400	223	106	343	32	227	16	343	337
81	1267	351	400	223	107	344	65	228	16	344	337
82	1283	351	400	223	108	345	32	229	16	345	337
83	1300	351	400	223	109	346	65	230	16	346	337
84	1316	351	400	223	110	347	32	231	16	347	337
85	1332	351	400	223	111	348	65	232	16	348	337
86	1348	351	400	223	112	349	32	233	16	349	337
87	1364	351	400	223	113	350	65	234	16	350	337
88	1380	351	400	223	114	351	32	235	16	351	337
89	1396	351	400	223	115	352	65	236	16	352	337
90	1412	351	400	223	116	353	32	237	16	353	337
91	1428	351	400	223	117	354	65	238	16	354	337
92	1444	351	400	223	118	355	32	239	16	355	337
93	1460	351	400	223	119	356	65	240	16	356	337
94	1476	351	400	223	120	357	32	241	16	357	337
95	1492	351	400	223	121	358	65	242	16	358	337
96	1508	351	400	223	122	359	32	243	16	359	337
97	1524	351	400	223	123	360	65	244	16	360	337
98	1540	351	400	223	124	361	32	245	16	361	337
99	1556	351	400	223	125	362	65	246	16	362	337
100	1572	351	400	223	126	363	32	247	16	363	337
101	1588	351	400	223	127	364	65	248	16	364	337
102	1604	351	400	223	128	365	32	249	16	365	337
103	1620	351	400	223	129	366	65	250	16	366	337
104	1636	351	400	223	130	367	32	251	16	367	337
105	1652	351	400	223	131	368	65	252	16	368	337
106	1668	351	400	223	132	369	32	253	16	369	337
107	1684	351	400	223	133	370	65	254	16	370	337
108	1700	351	400	223	134	371	32	255	16	371	337
109	1716	351	400	223	135	372	65	256	16	372	337
110	1732	351	400	223	136	373	32	257	16	373	337
111	1748	351	400	223	137	374	65	258	16	374	337
112	1764	351	400	223	138	375	32	259	16	375	337
113	1780	351	400	223	139	376	65	260	16	376	337
114	1796	351	400	223	140	377	32	261	16	377	337
115	1812	351	400	223	141	378	65	262	16	378	337
116	1828	351	400	223	142	379	32	263	16	379	337
117	1844	351	400	223	143	380	65	264	16	380	337
118	1860	351	400	223	144	381	32	265	16	381	337
119	1876	351	400	223	145	382	65	266	16	382	337
120	1892	351	400	223	146	383	32	267	16</		

權 周 漢(Joo Han KWON) 正會員
1964年10月1日生
1987年2月：漢陽大學校 電子通信科 卒業
1989年2月：漢陽大學校 大學院 電子通信科 卒業, 에너징정부호
專攻
現在：三星電子綜合研究所 研究2擔當
勤務



李 晚 榮(Man Young RHEE) 正會員
1924年11月30日生
서울大學校電氣工學科 卒業
美國Colorado 大學院卒業(工學博士: 1958
年)
美國Boeing 會社研究員
美國Virginia 工大教授
美國(California)工大 JPL NASA研究員
國防科學研究所副所長
韓國電子通信(株) 代表理事社長
電子通信工學科 教授

